

住友金属工業(株) 総合技術研究所 ○山縣千里 梶原義雅 須山真一

## I. 緒言

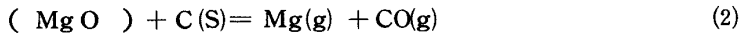
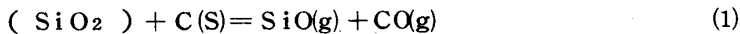
溶銑中 Si 濃度の制御性向上をはかるためには、コークスおよびスラグからの  $\text{SiO(g)}$  発生反応の定量化が必要である。本報告では、スラグからの  $\text{SiO(g)}$  発生反応<sup>1), 2)</sup> の検討として、特に全圧、CO 分圧および MgO 添加の影響について実験を行ない、数式モデルによる解析を実施した。

## II. 実験方法

加圧型高周波炉を用い、Fig.1に示す様に黒鉛るつぼ中に所定組成の合成スラグ 8 g をセットし、所定温度に到達後ガス吹付け方式で反応を開始させた。反応前後の重量変化測定および反応後試料の組成分析を実施した。

III. スラグからの  $\text{SiO(g)}$  発生反応モデル

(1)式の  $\text{SiO(g)}$  発生反応および(2)式の  $\text{Mg(g)}$  発生反応を考慮した。



両反応は、スラグ-コークス界面で進行するため、④スラグ境膜内物質移動過程、⑤ガス境膜内物質移動過程および⑥界面反応過程を考慮した。なお、ガス境膜内物質移動係数については谷口らの式<sup>3)</sup>を使用した。

## IV. 実験結果及び考察

全圧および CO 分圧の上昇は、Fig.2 に示す様に  $\text{SiO(g)}$  発生反応を抑制する。これは、(1)式の反応がガス発生反応であり、全圧の上昇によって反応抵抗が上昇するためである。

スラグ中  $\text{SiO}_2$  の活量  $a_{\text{SiO}_2}$  の  $\text{SiO(g)}$  発生反応に及ぼす影響を Fig.3 に示す。CaO-SiO<sub>2</sub> 2 元系スラグおよび CaO-SiO<sub>2</sub>-Al<sub>2</sub>O<sub>3</sub> 3 元系スラグ共に、 $\text{SiO(g)}$  発生量は  $a_{\text{SiO}_2}$  で統一的に整理される。また、モデル計算値と実測値とは良い対応があり、モデルの妥当性が確認された。

スラグ中  $\text{SiO}_2$  の活量  $a_{\text{SiO}_2}$  一定条件下で、スラグ中 MgO 含有量を変化させた場合の結果を Fig.4 に示す。MgO の上昇によるスラグ中 MgO 活量の上昇およびスラグ-黒鉛るつぼ界面積の減少によって、 $\text{Mg(g)}$  発生反応が促進され、一方  $\text{SiO(g)}$  発生反応は抑制される。

## V. 結言

スラグからの  $\text{SiO(g)}$  発生反応モデルにより、高炉内条件下における  $\text{SiO(g)}$  発生反応が定量的に説明された。

## (参考文献)

- 1) 海老沢ら: 鉄と鋼 68 (1982) S. 839
- 2) 下尾ら: 日本国金属学会誌 49 (1985) p. 626
- 3) 谷口ら: 鉄と鋼 62 (1976) p. 191

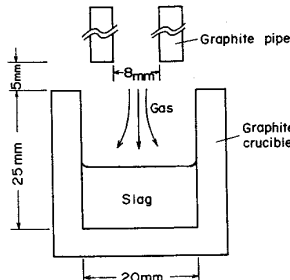


Fig.1 Schematic diagram of experimental apparatus.

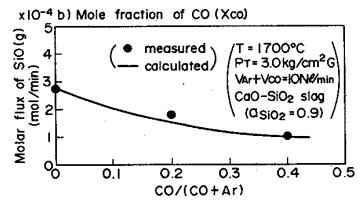
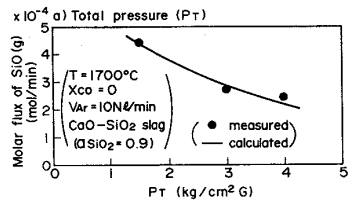


Fig.2 Influence of  $P_T$  and  $X_{\text{CO}}$  on  $\text{SiO(g)}$  generation.

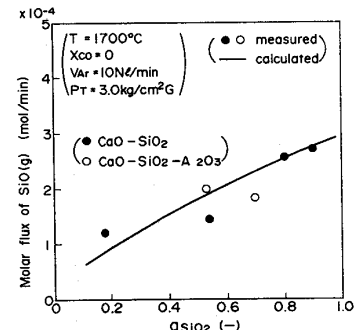


Fig.3 Influence of  $a_{\text{SiO}_2}$  on  $\text{SiO(g)}$  generation.

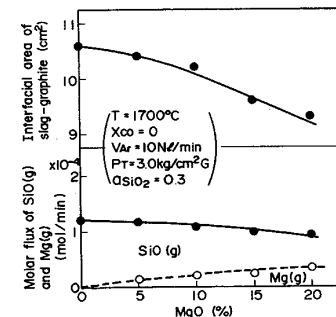


Fig.4 Influence of MgO on  $\text{SiO(g)}$  generation.